### Método de Elementos Finitos

Pedro H A Konzen

9 de agosto de 2018

### Licença

Este trabalho está licenciado sob a Licença Atribuição-Compartilha Igual 4.0 Internacional Creative Commons. Para visualizar uma cópia desta licença, visite <a href="http://creativecommons.org/licenses/by-sa/4.0/deed.pt\_BR">http://creativecommons.org/licenses/by-sa/4.0/deed.pt\_BR</a> ou mande uma carta para Creative Commons, PO Box 1866, Mountain View, CA 94042, USA.

### Prefácio

Nestas notas de aula são abordados temas introdutórios sobre o método de elementos finitos para a simulação de equações diferenciais. Como ferramenta computacional de apoio didático, faço uso de códigos em python com suporte da biblioteca FEniCS.

Agradeço aos(às) estudantes e colegas que assiduamente ou esporadicamente contribuem com correções, sugestões e críticas em prol do desenvolvimento deste material didático.

Pedro H A Konzen

## Sumário

| Capa                                | i   |
|-------------------------------------|-----|
| Licença                             | ii  |
| Prefácio                            | iii |
| Sumário                             | iv  |
| 1 Método de elementos finitos em 1D | 1   |
| 1.1 Fundamentos preliminares        | 1   |
| 1.1.1 Interpolação                  | 2   |
| 1.1.2 Exercícios                    | 8   |
| Respostas dos Exercícios            | 9   |
| Referências Bibliográficas          | 10  |
| Índice Remissivo                    | 11  |

### Capítulo 1

### Método de elementos finitos em 1D

### 1.1 Fundamentos preliminares

Seja dado um intervalo  $I = [x_0, x_1] \subset \mathbb{R}, x_0 \neq x_1$ . O espaço vetorial das funções lineares em I é definido por

$$P_1(I) := \{ v : \ v(x) = c_0 + c_1 x, \ x \in I, \ c_0, c_1 \in \mathbb{R} \}. \tag{1.1}$$

Observamos que dado  $v \in P_1(I)$ , temos que v é unicamente determinada pelos valores  $\alpha_0 = v(x_0)$  e  $\alpha_1 = v(x_1)$ . Como consequência, existe exatamente uma única função  $v \in P_1(I)$  para quaisquer dados valores  $\alpha_0$  e  $\alpha_1$ . Desta observação, introduzimos a chamada base nodal  $\{\varphi_0, \varphi_1\}$  para  $P_1(I)$ , definida por

$$\varphi_j(x_i) = \begin{cases} 1 & , i = j, \\ 0 & , i \neq j \end{cases}, \tag{1.2}$$

com i,j=0,1. Com esta base, toda função  $v\in P_1(I)$  pode ser escrita como uma combinação linear das funções  $\varphi_0$  e  $\varphi_1$  com coeficientes  $\alpha_0$  e  $\alpha_1$  (graus de liberdade), i.e.

$$v(x) = \alpha_0 \varphi_0(x) + \alpha_1 \varphi_1(x_1). \tag{1.3}$$

Além disso, observamos que

$$\varphi_0(x) = \frac{x_1 - x}{x_1 - x_0}, \quad \varphi_1 1(x) = \frac{x - x_0}{x_1 - x_0}.$$
(1.4)

Uma extensão do espaço  $P_1(I)$  é o espaço das funções lineares por partes. Dado  $I = [l_0, l_1], l_0 \neq l_1$ , consideremos uma partição (**malha**) de I com n+1 pontos  $\mathcal{I} = \{l_0 = x_0, x_1, \dots, x_n = l_1\}$  e, portanto, com n subintervalos  $I_i = [x_{i-1}, x_i]$  de comprimento  $h_i = x_i - x_{i-1}, i = 1, 2, \dots, n$ . Na malha  $\mathcal{I}$  definimos o seguinte espaço das funções lineares por partes

$$V_h := \{ v : v \in C^0(\mathcal{I}), v|_{I_i} \in P_1(I_i), i = 1, 2, \dots, n \}.$$

$$(1.5)$$

Observamos que toda função  $v \in V_h$  é unicamente determinadas por seus valores nodais  $\{\alpha_i = v(x_i)\}_{i=0}^n$ . Reciprocamente, todo conjunto de valores nodas  $\{\alpha_i\}_{i=0}^n$  determina unicamente uma função  $v \in V_h$ . Desta observação, temos que os valores nodais determinam os graus de liberdade com a base nodal  $\{\varphi_j\}_{j=0}^n$  para  $V_h$  definida por

$$\varphi_j(x_i) = \begin{cases} 1 & , i = j, \\ 0 & , i \neq j \end{cases}, \tag{1.6}$$

com  $i,j=0,1,\ldots,n$ . Podemos verificar que

$$\varphi_i(x) = \begin{cases} (x - x_{i-1})/h_i & , x \in I_i, \\ (x_{i+1} - x)/h_{i+1} & , x \in I_{i+1}, \\ 0 & , \text{noutros casos} \end{cases}$$
(1.7)

veja, Figura 1.1. É notável que  $\phi_i(x)$  tem suporte compacto  $I_i \cup I_{i+1}$ .

#### 1.1.1 Interpolação

A interpolação é uma das técnicas de aproximação de funções. Dada uma função contínua f em  $I=[x_0,x_1]$ , definimos o **operador de interpolação linear**  $\pi:C^0(I)\to P_1(I)$  por

$$\pi f(x) = f(x_0)\varphi_0(x) + f(x_1)\varphi_1(x). \tag{1.8}$$

Observamos que  $\pi f$  é igual a f nos nodos  $x_0$  e  $x_1$ .

**Exemplo 1.1.1.** A Figura 1.2 ilustra a interpolação da função  $f(x) = 3 \operatorname{sen}(2\pi x)$  no espaço  $P_1([1/4, 3/4)]$ . Neste caso

$$\pi f(x) = f\left(\frac{1}{4}\right) \frac{3/4 - x}{1/2} + f\left(\frac{3}{4}\right) \frac{x - 1/4}{1/2}.$$
 (1.9)

Podemos computar a função interpolada  $\pi f$  e o gráfico da Figura 1.2 no Python com o seguinte código:



Figura 1.1: Base nodal para o espaço das funções lineares por parte.

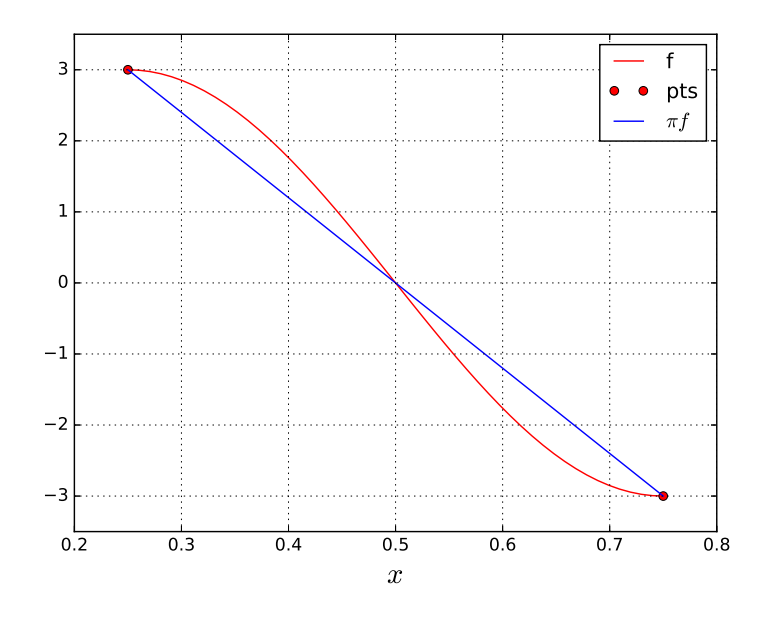


Figura 1.2: Interpolação linear de  $f(x) = 3 \operatorname{sen}(2\pi x)$  no espaço  $P_1([1/4, 3/4])$ .

from \_\_future\_\_ import division
import numpy as np
from scipy import interpolate

```
import matplotlib.pyplot as plt
#fun obj
f = lambda x: 3*np.sin(2*np.pi*x)
#intervalo
x0=1/4
x1=3/4
#interp
pif = interpolate.interp1d([x0,x1],[f(x0),f(x1)])
#grafico
xpts = np.linspace(x0,x1)
plt.plot(xpts,f(xpts),color="red",label="f")
plt.plot([x0,x1],[f(x0),f(x1)],color="red",linestyle="",marker="o",label="pts"]
plt.plot(xpts,pif(xpts),color="blue",label=r"$\pi f$")
plt.grid("on")
plt.xlabel(r"$x$",fontsize=20)
plt.ylim((-3.5,3.5))
plt.legend()
plt.show()
```

Agora, vamos buscar medir o erro de interpolação, i.e.  $f - \pi f$ . Para tanto, podemos usar a norma  $L^2$  definida por

$$||v||_{L^2(I)} = \left(\int_i v^2 dx\right)^{1/2}.$$
 (1.10)

Lembramos que valem as desigualdades triangular

$$||v + w||_{2(I)} \le ||v||_{L^2(I)} + ||w||_{L^2(I)}$$
(1.11)

e a de Cauchy-Schwarz

$$\int_{I} vw \, dx \le ||v||_{L^{2}(I)} ||w||_{L^{2}(I)}, \tag{1.12}$$

para qualquer funções  $v, w \in L^2(I)$ .

**Proposição 1.1.1.** (Erro da interpolação linear) O interpolador  $\pi f$  satisfaz as estimativas

$$||f - \pi f||_{L^2(I)} \le Ch^2 ||f''||_{L^2(I)}, \tag{1.13}$$

$$||(f - \pi f)'||_{L^2(I)} \le Ch||f''||_{L^2(I)}, \tag{1.14}$$

onde C é uma constante e  $h = x_1 - x_0$ .

Demonstração. Denotemos o erro de interpolação por  $e=f-\pi f$ . Do teorema fundamental do cálculo, temos

$$e(y) = e(x_0) + \int_{x_0}^{y} e' dx,$$
 (1.15)

onde  $e(x_0) = f(x_0) - \pi f(x_0) = 0$ . Daí, usando a desigualdade de Cauchy-Schwarz (1.12), temos

$$e(y) = \int_{x_0}^{y} e' \, dx \tag{1.16}$$

$$\leq \int_{x_0}^y |e'| \, dx \tag{1.17}$$

$$\leq \int_{I} 1 \cdot |e'| \, dx \tag{1.18}$$

$$\leq \left(\int_{I} 1^{2} dx\right)^{1/2} \left(\int_{I} e^{2} dx\right)^{1/2} \tag{1.19}$$

$$=h^{1/2}\left(\int_{I}e^{\prime 2}\,dx\right)^{1/2},\tag{1.20}$$

donde

$$e(y)^2 \le h \int_I e'^2 dx = h \|e'\|_{L^2(I)}^2.$$
 (1.21)

Então, integrando em I obtemos

$$||e||_{L^{2}(I)}^{2} = \int_{I} e^{2}(y) \, dy \le \int_{I} h||e'||_{L^{2}(I)}^{2} \, dy = h^{2}||e'||_{L^{2}(I)}^{2}, \tag{1.22}$$

ou seja,

$$||e||_{2(I)} \le h||e'||_{L^2(I)}.$$
 (1.23)

Agora, observando que  $e(x_0) = e(x_1) = 0$ , o teorema de Rolle garante a existência de um ponto  $\tilde{x} \in I$  tal que  $e'(\tilde{x}) = 0$ , donde do teorema fundamental

do cálculo e da desigualdade de Cauchy-Schwarz, segue

$$e'(y) = e'(\tilde{x}) + \int_{\tilde{x}}^{y} e'' dx$$
 (1.24)

$$= \int_{\tilde{x}}^{y} e'' dx \tag{1.25}$$

$$\leq \int_{I} 1 \cdot |e''| \, dx \tag{1.26}$$

$$\leq h^{1/2} \left( \int_{I} e^{\prime \prime 2} \right)^{1/2}. \tag{1.27}$$

Então, integrando em I, obtemos

$$||e'||_{2(I)}^2 \le h^2 ||e''||_{L^2(I)}^2,$$
 (1.28)

a qual, observando que e''=f'', equivale a segunda estimativa procurada, i.e.

$$||(f - \pi f)'||_{L^2(I)} \le Ch||f''||_{L^2(I)}. \tag{1.29}$$

Por fim, de (1.23) e de (1.23), obtemos a primeira estimativa desejada

$$||f - \pi f||_{L^2(I)} \le Ch^2 ||f''||_{L^2(I)}. \tag{1.30}$$

Vamos, agora, generalizar este resultado para a interpolação no espaço  $V_h$  das funções lineares por parte. Dada uma função contínua f em  $I = [l_0, l_1]$ , definimos o operador interpolador  $\pi: C^0(I) \to V_h$  na malha  $\mathcal{I}$  de I por

$$\pi f(x) = \sum_{i=0}^{n} f(x_i)\varphi_i(x). \tag{1.31}$$

**Exemplo 1.1.2.** A Figura 1.3 ilustra a interpolação da função  $f(x) = 3 \operatorname{sen}(2\pi x)$  no espaço  $V_h$  das funções lineares por partes em uma malha uniforme do intervalo  $I = [1/4, 3/4] \operatorname{com} n = 4$  subintervalos (5 pontos). Podemos computar a função interpolada  $\pi f$  e o gráfico da Figura 1.3 no Python com o seguinte código:

from \_\_future\_\_ import division
import numpy as np
from scipy import interpolate
import matplotlib.pyplot as plt

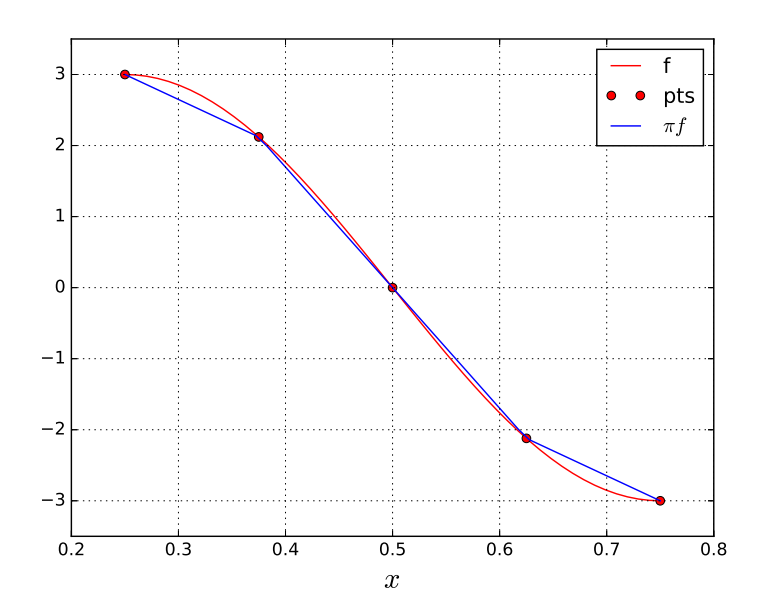


Figura 1.3: Interpolação linear de  $f(x) = 3 \operatorname{sen}(2\pi x)$  no espaço  $V_h$  das funções lineares por partes sobre uma malha com 5 pontos.

```
#fun obj
f = lambda x: 3*np.sin(2*np.pi*x)

#malha
n=5
10=1/4
11=3/4
xx = np.linspace(10,11,n)

#interp
pif = interpolate.interp1d(xx,f(xx))

#grafico
xpts = np.linspace(10,11)
plt.plot(xpts,f(xpts),color="red",label="f")
plt.plot(xx,f(xx),color="red",linestyle="",marker="o",label="pts")
```

Licença CC-BY-SA 4.0

7

```
plt.plot(xpts,pif(xpts),color="blue",label=r"$\pi f$")
plt.grid("on")
plt.xlabel(r"$x$",fontsize=20)
plt.ylim((-3.5,3.5))
plt.legend()
plt.show()
```

O seguinte resultado fornece uma estimativa do erro de interpolação em relação ao tamanho  $h_i$  de cada elemento da malha.

Proposição 1.1.2. O interpolador  $\pi f$  satisfaz as estimativas

$$||f - \pi f||_{L^2(I)}^2 \le C \sum_{i=1}^n h_i^4 ||f''||_{L^2(I)}^2,$$
 (1.32)

$$\|(f - \pi f)'\|_{L^{2}(I)}^{2} \le C \sum_{i=1}^{n} h_{i}^{2} \|f''\|_{L^{2}(I)}^{2}.$$
(1.33)

(1.34)

Demonstração. Ambas desigualdades seguem da desigualdade triangular e da Proposição 1.1.1. Por exemplo, para a primeira desigualdade, temos

$$||f - \pi f||_{L^{2}(I)}^{2} \le \sum_{i=1}^{n} ||f - \pi f||_{L^{2}(I_{i})}^{2}$$
(1.35)

$$\leq \sum_{i=1}^{n} Ch_i^4 ||f''||_{L^2(I_i)}^2. \tag{1.36}$$

Em construção ...

#### 1.1.2 Exercícios

- **E 1.1.1.** Faça um código para verificar as estimativas da Proposição 1.1.1 no caso da interpolação da função  $f(x) = 3 \operatorname{sen}(2\pi x)$  no espaço  $P_1$  das funções lineares.
- **E 1.1.2.** Faça um código para verificar as estimativas da Proposição 1.1.2 no caso da interpolação da função  $f(x) = 3 \operatorname{sen}(2\pi x)$  no espaço  $V_h$  das funções lineares por partes.

Em construção ...

# Resposta dos Exercícios

### Referências Bibliográficas

- [1] Hans Petter Langtangen and Anders Logg. Solving PDEs in Python. Springer, 2017.
- [2] M.G. Larson and F. Bengson. The Finite Element Method: Theory, Implementation, and Applications. Springer, 2013.

# Índice Remissivo

```
graus de liberdade, 1 malha, 2 operador interpolação linear, 2
```